

УДК 537.874.6; 519.64

Дискретная математическая модель 3D дифракции электромагнитной волны на осесимметричном рефлекторе

С. В. Жученко

Харьковский национальный университет имени В.Н. Каразина, Украина

В статье предлагается метод численного выделения особенностей в гиперсингулярных уравнениях возникающих в трёхмерной задаче дифракции электромагнитного поля на аксиальносимметричных поверхностях. Созданная на основе такой модели программа ЭВМ испытывается дифракцией плоской электромагнитной волны на параболоиде вращения в широком диапазоне частот и полученные результаты сравниваются с результатами полученными с помощью программного комплекса "EDEM 3d".

Ключевые слова: гиперсингулярное интегральное уравнение, численное решение, компьютерный эксперимент, задача дифракции.

В статті пропонується метод чисельного виділення особливостей в гіперсингулярних рівняннях виникаючих в тримірній задачі дифракції електромагнітного поля на аксиальносиметричних поверхнях. Створена на основі такої моделі програма ЕОМ випробовується дифракцією плоскої електромагнітної хвилі на параболоїді обертання в широкому діапазоні частот та одержані результати порівнюються з результатами отриманими за допомогою програмного комплексу "EDEM 3d".

Ключові слова: гіперсингулярне інтегральне рівняння, чисельний розв'язок, метод виділення особливостей, задача дифракції.

In the paper was proposed method of the numerical detaching the singularity from hyper singular equation of arising into three-dimensional task of the diffraction electromagnetic field towards axially symmetric surface. Created on bases of such model program IBM are test by diffraction of a plane electromagnetic wave of the wide-ranging frequencies and obtain results compared with results which received by established system IBM "EDEM 3d".

Key words: hyper singular integral equations, numerical solution, computer-based experiment, diffraction problem.

1. Введение

Рассматривается численная модель дифракции произвольной монохроматической квазистационарной электромагнитной волны на осесимметричной не замкнутой идеально проводящей гладкой поверхности. Трёхмерный вариант этой модели рассматривался мною и ранее. Результаты первых вычислительных экспериментов с использованием такой модели были опубликованы в совместной с профессором В.А. Щербиной статье Вестника ХНУ [2]. О важности выделения особенностей при применении такой модели, а также об одном методе численного выделения гиперсингулярных, сингулярных и логарифмических особенностей докладывалось мною на симпозиуме МДОЗМФ в 2013 году.

В настоящей статье предлагается иной способ выделения особенностей в интегральном уравнении, а также иначе организуется вычислительный процесс в программе.

В заключение эта универсальная вычислительная программа испытывается на отражателе в форме параболоида вращения. В широком диапазоне частот отражатель облучается плоской электромагнитной волной. Рассматривается вариант, когда волна распространяется вдоль оси отражателя. Результаты численных экспериментов сравниваются с аналогичными, полученными с помощью широко известного универсального программного комплекса ЭВМ EDEM 3d [3].

2. Описание вычислительной модели.

Поверхность рефлектора S получается вращением её образующей r вокруг оси z . Для задания цилиндрических координат поверхности вращения в качестве аргумента удобно использовать длину дуги образующей s , то есть $r = r(s)$, $z = z(s)$. Это существенно расширяет класс моделируемых поверхностей в сравнении с вариантом, когда аргументом служит координата на оси вращения.

Декартовы координаты поверхности S можно записать через цилиндрические координаты φ, z, r по формулам: $\bar{x} = \bar{x}(\varphi, s) = \mathcal{K}(\varphi, s) + z(s)\bar{e}_3$, где $\mathcal{K}(\varphi, s) = r(s)\mathcal{K}(\varphi)$, $\mathcal{K}(\varphi) = \cos(\varphi)\bar{e}_1 + \sin(\varphi)\bar{e}_2$. Единичные вектора касательных к параллелям и меридианам поверхности равны, соответственно: $\bar{\tau}_1(\varphi) = \mathcal{K}'(\varphi)$, $\bar{\tau}_2(\varphi, s) = r'(s)\mathcal{K}(\varphi) + z'(s)\bar{e}_3$.

$$\bar{n}(\varphi, s) = -z'(s)\mathcal{K}(\varphi) + r'(s)\bar{e}_3 - \text{нормаль к поверхности } S.$$

В рассматриваемой модели электрическое поле дифракции первичного поля $\bar{E}_0(\bar{x})$ на рефлекторе S представляется в $R^3 \setminus S$ ротором от потенциалов двойного и простого слоёв:

$$\bar{E}_1(\bar{x}) = \nabla \times \int_S \left[\bar{j}(\bar{y}) \frac{\partial}{\partial \bar{n}(\bar{y})} - K \bar{j}(\bar{y}) \right] \frac{e^{ip|\bar{x}-\bar{y}|}}{|\bar{x}-\bar{y}|} ds_y, \quad (1)$$

где $\bar{j}(\bar{y}(\varphi, s)) = u(\varphi, s)\bar{\tau}_1(\varphi) + v(\varphi, s)\bar{\tau}_2(\varphi, s)$ - искомое векторное поле решения задачи, определяемое на поверхности S и касательное к ней.

$$K \bar{j}(\bar{y}(\varphi, s)) = k_1(\bar{y})(\bar{j}(\bar{y}), \bar{\tau}_1(\bar{y}))\bar{\tau}_1(\bar{y}) + k_2(\bar{y})(\bar{j}(\bar{y}), \bar{\tau}_2(\bar{y}))\bar{\tau}_2(\bar{y}).$$

Здесь $k_1(\bar{y})$, $k_2(\bar{y})$ – главные кривизны поверхности S .

Так представленное поле дифракции удовлетворяет дифференциальному уравнению Гельмгольца

$$\Delta \bar{E}_1(x) + p^2 \bar{E}_1(x) = 0, \quad x \in \Omega \in R^3 \setminus S, \quad p^2 = \frac{\omega^2}{c^2}, \quad (2)$$

и дифференциальному уравнению

$$(\nabla, \bar{E}_1(x)) = 0, \quad x \in \Omega. \quad (3)$$

Кроме того выражение (1) удовлетворяет условию излучения на бесконечности

$$E_1(x) = C_0 \left(\frac{x}{|x|} \right) \frac{e^{ik|x|}}{|x|} + O \left(\frac{1}{|x|^2} \right), \quad \text{при } |x| \rightarrow \infty. \quad (4)$$

На идеально проводящем экране рефлектора полное поле $\bar{E}(\bar{x}) = \bar{E}_0(\bar{x}) + \bar{E}_1(\bar{x})$ должно удовлетворять условию $\bar{n}(\bar{x}) \times \bar{E}(\bar{x}) = 0$, что для неизвестного поля $\bar{j}(\bar{y})$, $\bar{y} \in S$ даёт на S краевое условие вида:

$$\lim_{\varepsilon \rightarrow 0} \bar{n}(\bar{x}) \times \left[\nabla \times \oint_S \left\{ \bar{j}(\bar{y}) \frac{\partial}{\partial \bar{n}(\bar{y})} - K \bar{j}(\bar{y}) \right\} \frac{e^{ip|\bar{x}_\varepsilon - \bar{y}|}}{|\bar{x}_\varepsilon - \bar{y}|} ds_y \right] = \bar{E}_0(\bar{x}) \times \bar{n}(\bar{x}), \quad (5)$$

где $\bar{x}_\varepsilon = \bar{x} + \varepsilon \bar{n}(\bar{x})$, $\bar{x} \in S$.

Как показано в [1], представление для искомого касательного поля решения в виде $\bar{J}(\bar{y}) = \bar{j}(\bar{y}) \frac{\partial}{\partial \bar{n}(\bar{y})} - K \bar{j}(\bar{y})$ обеспечивает существование предела $\left(\lim_{\varepsilon \rightarrow 0} \right)$ для любого гладкого поля $\bar{j}(\bar{y})$, не зависимо от знака ε и единственность поставленной задачи (5).

Касательные к поверхности S вектора в правой и левой части выражения (5) в некоторой точке наблюдения $\bar{x} \in S$ проектируются на касательные к той же поверхности вектора $\bar{\tau}_1(\bar{x})$ и $\bar{\tau}_2(\bar{x})$. В результате получается система из двух скалярных интегральных уравнений относительно неизвестных скалярных функций $u(\bar{y})$ и $v(\bar{y})$:

$$\left(\bar{\tau}_m(\bar{x}), \oint_S \bar{n}(\bar{x}) \times \left[\bar{J}(\bar{y}) \times \nabla_x \frac{e^{ip|\bar{x} - \bar{y}|}}{|\bar{x} - \bar{y}|} \right] ds_y \right) = (\bar{n}(\bar{x}) \times \bar{E}_0(\bar{x}), \bar{\tau}_m(\bar{x})), \quad m=1,2 \quad (6)$$

Здесь \oint понимается в смысле предела по $\varepsilon \rightarrow 0$, как это представлено в (5).

Поскольку S поверхность вращения, то естественно искомые функции $u(\bar{y}), v(\bar{y})$ в выражении для псевдовекторного поля $\bar{j}(\bar{y})$ разложить в ряды Фурье по круговой переменной φ . Подставив полученные ряды Фурье в левую часть уравнения (6), после интегрирования по круговой переменной φ , получим бесконечную цепочку независимых друг от друга гиперсингулярных интегральных уравнений по переменной s , которые будут являться

параметрическим представлением по точке наблюдения \bar{x} для коэффициентов Фурье правой части выражения (6). В результате система (6) превратится в бесконечную цепочку независимых друг от друга систем скалярных гиперсингулярных интегральных уравнений для различных гармоник рядов

Фурье функций $u(\bar{y}), v(\bar{y})$, то есть для пар функций $\begin{pmatrix} u_q(s) \\ v_q(s) \end{pmatrix}$, $q = 0, \pm 1, \pm 2, \dots$

Пару таких гиперсингулярных интегральных уравнений для неизвестных пар функций гармоники q можно представить так

$$\begin{pmatrix} \int_{-L}^L K_{11}^q(\bar{x}, s) u_q(s) ds + \int_{-L}^L K_{12}^q(\bar{x}, s) v_q(s) ds = f_q^1(\bar{x}) \\ \int_{-L}^L K_{21}^q(\bar{x}, s) u_q(s) ds + \int_{-L}^L K_{22}^q(\bar{x}, s) v_q(s) ds = f_q^2(\bar{x}) \end{pmatrix}. \quad (7)$$

Здесь $f_q^1(\bar{x}), f_q^2(\bar{x}) - q$ гармоники рядов Фурье по круговой переменной φ , для двух заданных по условию задачи компонент вектора первичного поля в левой части уравнения (6).

Искомые функции u_q, v_q в (7) зависят от одной переменной s , что серьезно упрощает решение таких задач.

Чтобы в левой части уравнения (6) провести процедуру интегрирования по круговой переменной φ , на образующей поверхности S при $\varphi = 0$ вводится неравномерная сеть точек, естественные координаты которых определяются по формулам: $s_{0j}^n = L \cos \frac{j}{n} \pi$, $j = 1, \dots, n-1$. Здесь L половина длины дуги

образующей, а $t_{0j}^n = \cos \frac{j}{n} \pi$ представляют собой $n-1$ различных нулей

многочлена Чебышева II-го рода степени $n-1$, т.е. $U_{n-1}(t_{0j}^n) = 0$ [4]. Круговые сечения поверхности S образованные плоскостями перпендикулярными к её оси и проходящими через эти точки, определяют на поверхности S систему круговых полос, по которым будет проводиться интегрирование по φ в уравнении (6).

Непосредственно перед интегрированием неподвижные точки или как их ещё называют точки наблюдения $\bar{x} \in S$ помещают в одну из таких точек на образующей. Их декартовы координаты при этом равны $\bar{x}_{0i} = (r(s_{0i}^n), 0, z(s_{0i}^n))$, $i = 1, 2, \dots, n-1$. В каждой из выделенных полос декартовы координаты точек интегрирования равны $\bar{y}(\varphi, s_{0j}^n) = (r(s_{0j}^n) \cos \varphi, r(s_{0j}^n) \sin \varphi, z(s_{0j}^n))$ $j = 1, \dots, n-1$, $\varphi \in [-\pi, \pi]$.

Интегрирование по кругу проводится по формуле прямоугольников с переменным шагом $\Delta\varphi$. Величина $\Delta\varphi$ выбирается обратно пропорционально скорости изменения подинтегрального выражения и определяется программой автоматически.

Кроме того, когда точка наблюдения \bar{x}_{0i} располагается в сечении, где производится интегрирование по кругу, то есть когда $i = j$, при $\varphi = 0$ в ядре возникают особенности, которые выделяются численно. Для этого в левой части уравнения (6) отдельно рассматриваются интегралы, отвечающие потенциалам простого:

$$\left(\bar{\tau}_m(\bar{x}), \oint_s \bar{n}(\bar{x}) \times \left[K \bar{j}(\bar{y}) \times \nabla_x \frac{e^{ip|\bar{x}-\bar{y}|}}{|\bar{x}-\bar{y}|} \right] ds_y \right), m = 1, 2. \quad (8)$$

и двойного

$$\left(\bar{\tau}_m(\bar{x}), \oint_s \bar{n}(\bar{x}) \times \left[\bar{j}(\bar{y}) \frac{\partial}{\partial \bar{n}(\bar{y})} \times \nabla_x \frac{e^{ip|\bar{x}-\bar{y}|}}{|\bar{x}-\bar{y}|} \right] ds_y \right), m = 1, 2. \quad (9)$$

слоёв. Чтобы избежать деления на нуль в обоих интегралах, смещаем вдоль касательной $\bar{z}_2(0, z(s_{0j}^n))$ точки интегрирования на небольшую экспериментально подобранную величину δ . В результате точки интегрирования получают координаты $\bar{y}^*(\varphi, s_{0j}^n) = \bar{y}(\varphi, s_{0j}^n) + \delta \bar{z}_2(0, z(s_{0j}^n))$. Ядра интегралов (9), отвечающие потенциалу двойного слоя при $m = 1, 2$,

$$\text{имеют вид выражения} \quad \frac{C_m(\bar{x}_{0j}, \bar{y}^*(\varphi, s_{0j}^n))}{|\bar{x}_{0j} - \bar{y}(\varphi, s_{0j}^n)|^3},$$

где $C_m(\bar{x}_{0j}, \bar{y}^*(\varphi, s_{0j}^n))$ – непрерывные функции. Чтобы выделить гиперсингулярную особенность по переменной s , умножим это выражение на δ^2 и проведём его интегрирование по углу φ в экспериментально подобранном интервале $[-\varphi_0, \varphi_0]$. Интегрирование проводится по обычным формулам прямоугольников, но с переменным шагом $\Delta\varphi$. Для малых значений угла φ этот шаг чрезвычайно мал, а затем, по мере удаления от точки \bar{x}_{0j} , он постепенно увеличивается. Вычисленные значения и будут искомыми гиперсингулярными особенностями в данном сечении j , обозначим их через $f_{n-2}^m(t_{0j}^n)$ для $m = 1, 2$, соответственно. Эти особенности будут использоваться

при интегрировании вдоль образующей по s , то есть в гиперсингулярных интегралах

$$\int_{-1}^1 \frac{f_{n-2}^m(t)\eta(t)}{(t-t_0)^2} \sqrt{1-t^2} dt \quad \text{при } m=1,2;. \quad (10)$$

Здесь $\eta(t) = u_q(t)$ или $v_q(t)$ являются искомыми значениями q -их гармоник для рядов Фурье функций $u(\bar{y}), v(\bar{y})$. К таким интегралам сведётся гиперсингулярная составляющая интеграла (9) после интегрирования по кругу в интервале $[-\varphi_0, \varphi_0]$ и в результате замены $s = Lt$. Весовая функция $\sqrt{1-t^2}$ используется при интегрировании во всех интегралах задачи для выполнения условий Майкснера на краю образующей. Это условие обеспечивает ограниченность получаемого решения. При $|\varphi| > \varphi_0$ интегрирование по оставшейся части окружности относится к регулярной составляющей интеграла (9) и проводится без умножения на δ^2 .

Вычислительные эксперименты показали на отсутствии сингулярных особенностей в интегралах (8) и (9). Поэтому в интегралах (8) отвечающих потенциалам простого слоя проводилось выделение логарифмической особенности. Для этого ядра интегралов (8) отвечающих потенциалам простого слоя делились на постоянную $\ln \delta$ и получившееся выражения интегрировались в том же интервале углов $[-\varphi_0, \varphi_0]$. Полученные значения этих интегралов являются логарифмическими особенностями, обозначаются как $l_{n-2}^m(t_{0j}^n)$ и будут использованы при интегрировании вдоль образующей в выражениях

$$\int_{-1}^1 \ln|t-t_0| l_{n-2}^m(t)\eta(t)\sqrt{1-t^2} dt \quad \text{при } m=1,2. \quad (11)$$

Здесь также как в интеграле (10) $\eta(t) = u_q(t)$ или $v_q(t)$ являются искомыми значениями q -их гармоник для рядов Фурье функций $u(\bar{y}), v(\bar{y})$.

При $|\varphi| > \varphi_0$ интегрирование по оставшейся части окружности относится к регулярной составляющей интеграла (8) и проводится без деления ядра на $\ln \delta$.

Когда $i \neq j$, интегрирование в интервале $[-\varphi_0, \varphi_0]$ проводится по аналогичной методике только в качестве δ используется $\delta = |\bar{x}_{0i} - \bar{y}(0, s_{0j}^n)|$. Получившиеся в результате этих вычислений величины $f_{n-2}^m(t_{0j}^n)$ и $l_{n-2}^m(t_{0j}^n)$ используются при вычислениях в интегралах (10) и (11). При $|\varphi| > \varphi_0$ интегрирование по оставшейся части окружности относится к регулярной составляющей интегралов (8) и (9).

Выделение особенностей в системе интегральных уравнений (7) проводится только в ядрах $K_{11}^q(\bar{x}, s)$ и $K_{22}^q(\bar{x}, s)$. Ядра $K_{12}^q(\bar{x}, s)$ и $K_{21}^q(\bar{x}, s)$ являются регулярными.

Гиперсингулярный интеграл (10) вычисляется по квадратурным формулам с использованием интерполяционных полиномов Лагранжа с чебышевскими узлами 2-го типа. Применяя введённую ранее неравномерную сеть точек на образующей, получаем конечно-разностную формулу [4]:

$$\int_{-1}^1 \frac{f_{n-2}^m(t) \eta(t)}{(t - t_{0i}^n)^2} \sqrt{1-t^2} dt = \frac{\pi}{n} \sum_{\substack{j=1 \\ j \neq i}}^{n-1} \eta(t_{0j}^n) f_{n-2}^m(t_{0j}^n) \frac{(1 - (-1)^{j+i})(1 - (t_{0j}^n)^2)}{(t_{0i}^n - t_{0j}^n)^2} - \eta(t_{0i}^n) f_{n-2}^m(t_{0i}^n) \frac{\pi n}{2}. \quad (12)$$

Квадратурная формула интерполяционного типа для интегралов с логарифмическим ядром по тем же узлам будет [4]:

$$\int_{-1}^1 \ln|t - t_{0i}^n| l_{n-2}^m(t) \eta(t) \sqrt{1-t^2} dt = -\frac{\pi}{n} \sum_{j=1}^{n-1} \eta(t_{0j}^n) l_{n-2}^m(t_{0j}^n) (1 - (t_{0j}^n)^2) \left[\ln 2 + 2 \sum_{k=1}^{n-1} \frac{T_k(t_{0j}^n)}{k} \right] T_k(t_{0i}^n), \quad (13)$$

где $T_k(t)$ – многочлен Чебышева 1-го рода степени k .

Квадратурная формула интерполяционного типа для регулярных интегралов по тем же узлам будет [4]:

$$\int_{-1}^1 R_{n-2}^m(t) \eta(t) \sqrt{1-t^2} dt = \frac{\pi}{n} \sum_{j=1}^{n-1} \eta(t_{0j}^n) R_{n-2}^m(t_{0j}^n) (1 - (t_{0j}^n)^2). \quad (14)$$

После выделения особенностей в ядрах системы интегральных уравнений (7) для каждой неподвижной точки

$\bar{x}_{0i} = (r(s_{0i}^n), 0, z(s_{0i}^n))$, $i = 1, 2, \dots, n-1$ с помощью квадратурных формул (12), (13) и (14) проводится интегрирование вдоль образующей. В результате для каждой гармоники получаем систему из $2n-2$ линейных алгебраических уравнений для определения $2n-2$ неизвестных значений табличных функций: $u_q(t_{0j}^n)$ и $v_q(t_{0j}^n)$ $j = 1, 2, \dots, n-1$. Решая получившиеся системы по методу Гаусса получаем искомые таблицы функций.

3. Вычислительные эксперименты

В экспериментах рассматривалась вычислительная модель дифракции плоской электромагнитной волны на отражателе в форме параболоида вращения. Исследовался простейший случай, когда плоская волна распространяется вдоль оси параболоида. В этом случае искомое решение имеет только две гармоники $q=-1$ и $+1$. На рис. 1 изображена образующая параболоида на плоскости XOY . Плоская волна распространяется навстречу оси OZ , а вектор её электрического напряжения направлен вдоль оси OX . Фокус параболоида расположен в точке $z=0,25$ м.

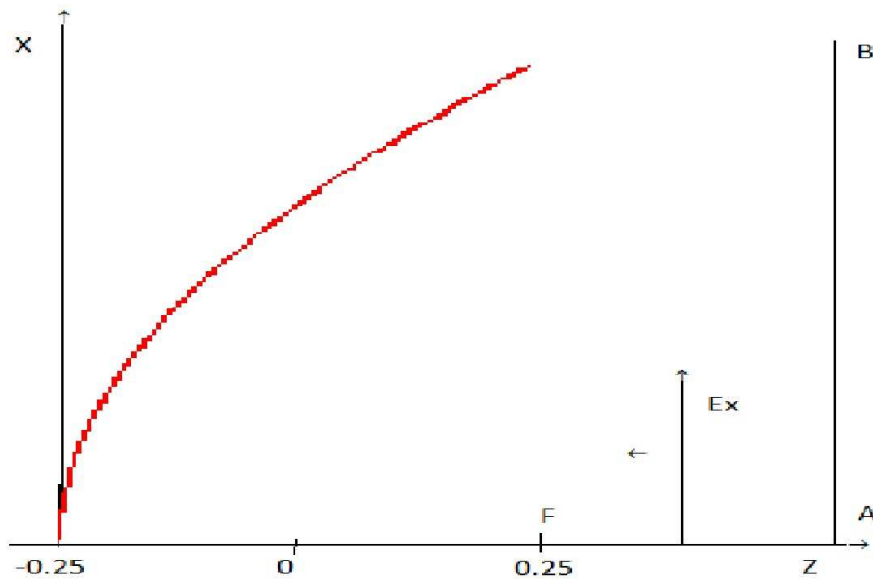


Рис. 1. Образующая параболоида вращения.

В первом вычислительном эксперименте отражатель облучался волной частоты $h=5$ ГГц. Характерный параметр эксперимента «ка» в этом случае оказывается равным 50. Здесь k – круговая частота и a – характерный размер отражателя. Полученные в результате вычислений искомые функции $u(s)$ и $v(s)$ используются для определения напряжённости электрического поля в окрестности отражателя. Эти данные сравниваются с аналогичными результатами полученными с помощью известной универсальной программой «EDEM 3d». В дальнейшем эти результаты будем именовать «ТЕСТ» и «ЕДЕМ», соответственно.

На рис. 2 представлены графики распределения на оси OZ модуля E_x (x -овая компонента вектора \vec{E}), а также его реальной и мнимой составляющих. Причём на каждом графике одновременно представлены компоненты вектора электрического напряжения поля дифракции полученные с помощью программ ЭВМ «ТЕСТ» и «ЕДЕМ». Вычисления проводились в интервале координат

[-0.5, 0.5]. Эти графики почти всюду хорошо совпадают и имеют заметные отличия только в окрестности отражателя, а также в районе фокуса. Чтобы оценить величины отклонений этих графиков друг от друга, на рис. 3 представлены графики для $E_x^T - E_x^E$, то есть для разностей модулей, реальных и мнимых составляющих этих компонент. Здесь E_x^T и E_x^E - значения x-овых компонент вектора напряжённости полученных по программе «ТЕСТ» и «ЕДЕМ», соответственно. В местах самых больших отклонений относительная погрешность не превышает 1.5%.

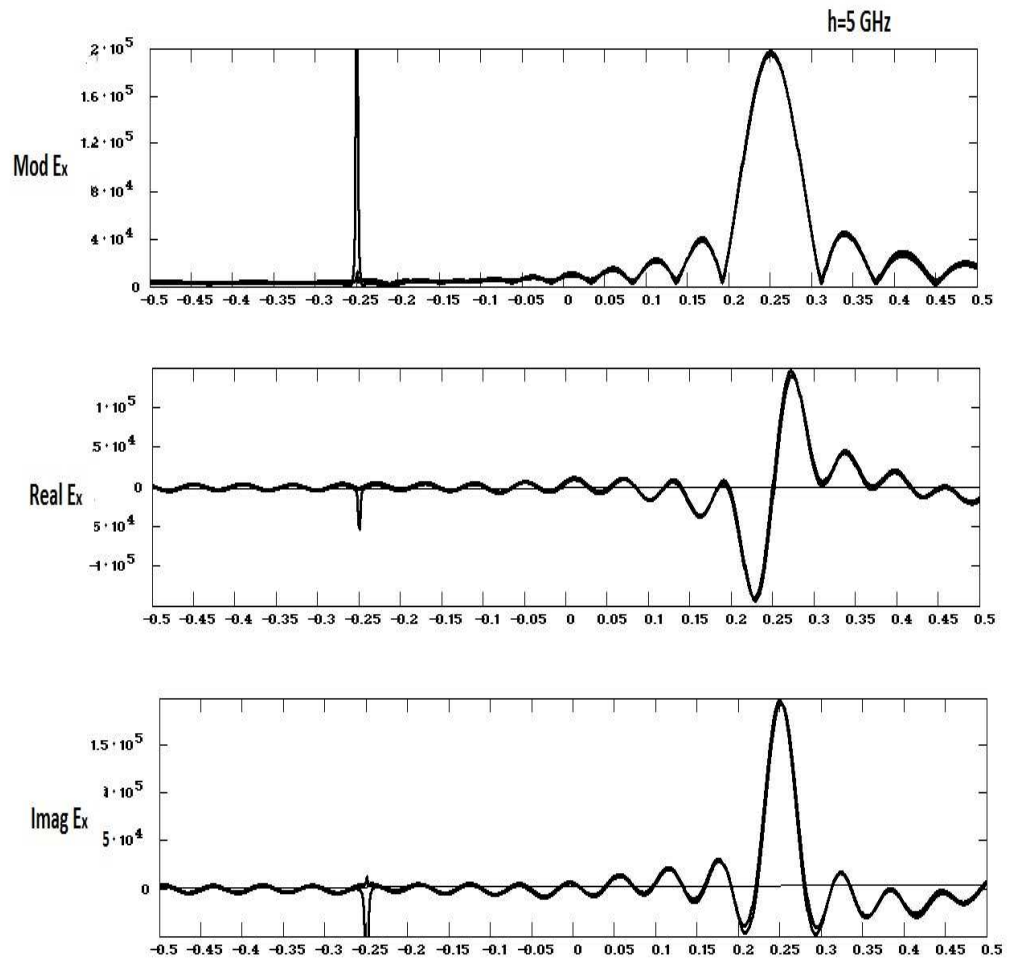


Рис. 2. Графики для модуля, реальной и мнимой составляющих E_x -овой компоненты вектора напряжённости на оси OZ , полученные с помощью программ ЭВМ «ТЕСТ» и «ЕДЕМ» в случае $ka=50$.

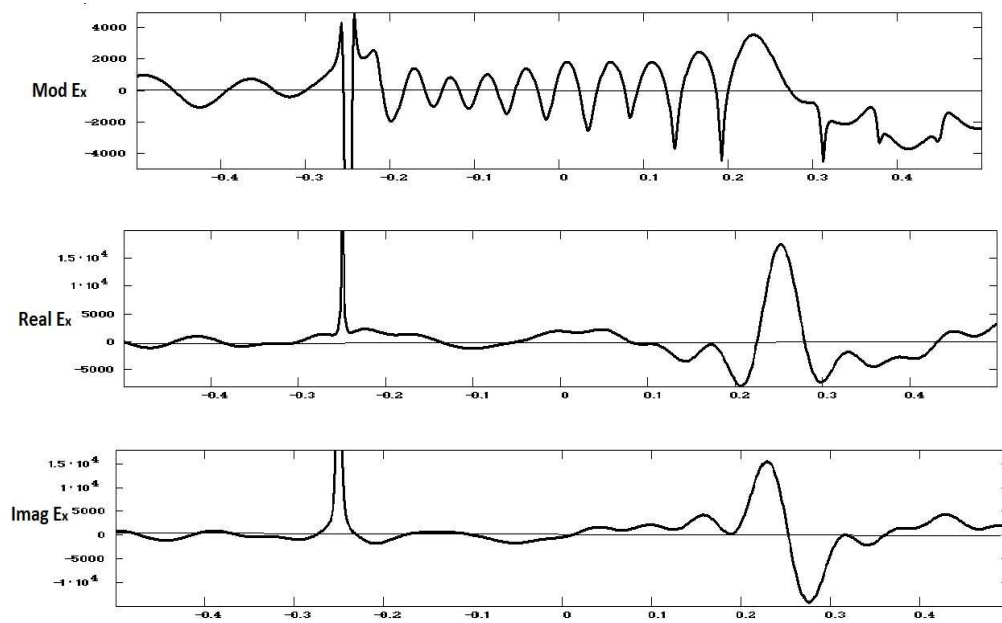


Рис. 3. Графики $E_x^T - E_x^E$, то есть разности между модулями E_x , а так же между их реальными и мнимыми составляющими для программ ЭВМ «ТЕСТ» и «ЕДЕМ».

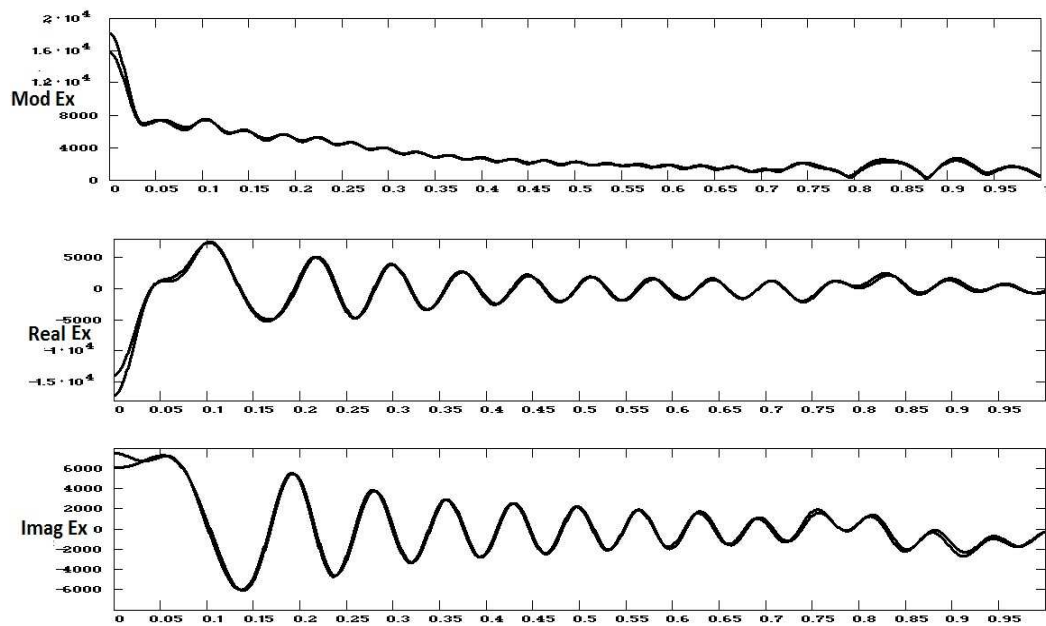


Рис. 4. Графики для модуля, реальной и мнимой составляющих компоненты E_x вектора напряжённости полученных с помощью программ ЭВМ «ТЕСТ» и «ЕДЕМ» в случае $ka=50$ на отрезке АВ.

На рисунках 4 и 5 представлены графики распределения поля дифракции в перпендикулярном к оси OZ направлении, полученные в том же вычислительном эксперименте. На рис. 1 это отрезок АВ. Здесь также почти всюду хорошее совпадение графиков для программ ЭВМ «ТЕСТ» и «ЕДЕМ».

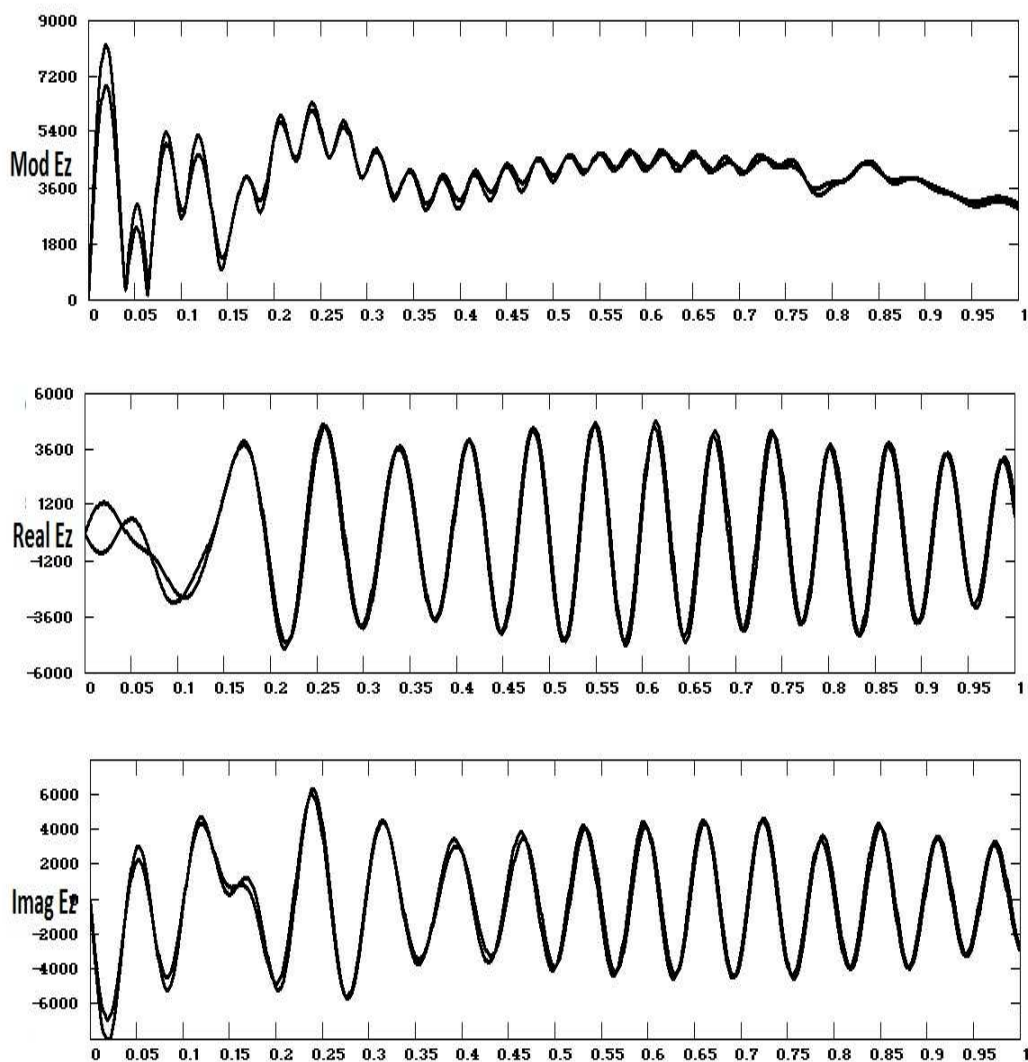


Рис. 5. Графики для модуля, реальной и мнимой составляющих компоненты E_z вектора напряжённости полученных с помощью программ ЭВМ «ТЕСТ» и «ЕДЕМ» в случае $ka=50$ на отрезке АВ.

На рис. 6, 7, 8, 9 приведены графики кругового распределения вектора напряжённости электрического поля в дальней зоне, полученные с помощью программ «ТЕСТ» и «ЕДЕМ». Вычисления проводились в плоскости проходящей через ось OZ , параллельно вектору напряжённости плоской волны. Здесь, надо признать, совпадения есть только качественные.

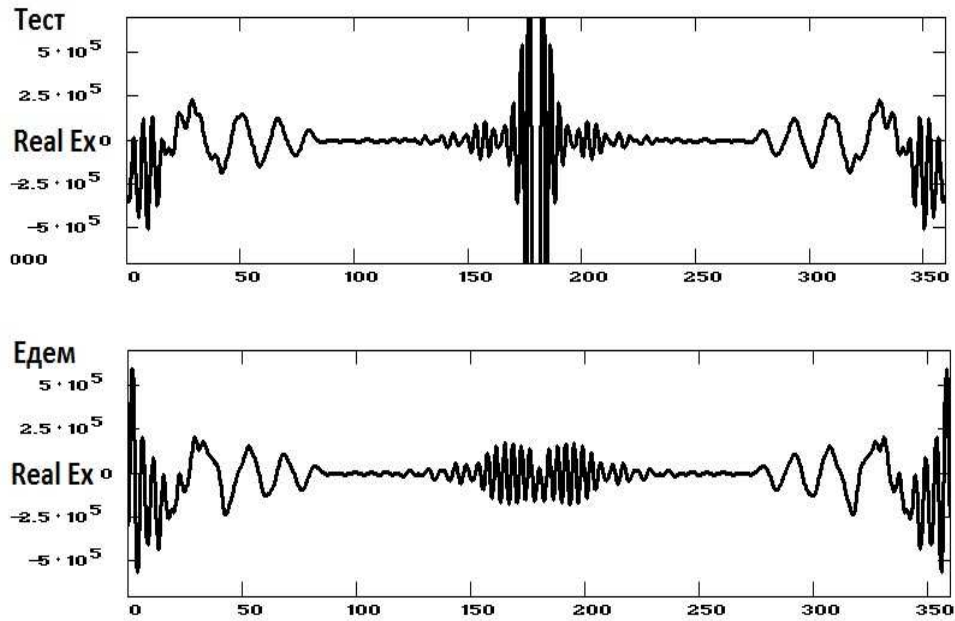


Рис. 6. Графики распределения реальной компоненты E_x вектора напряжённости электрического поля в дальней зоне, полученные программами «ТЕСТ» и «ЕДЕМ» в случае $ka=50$.

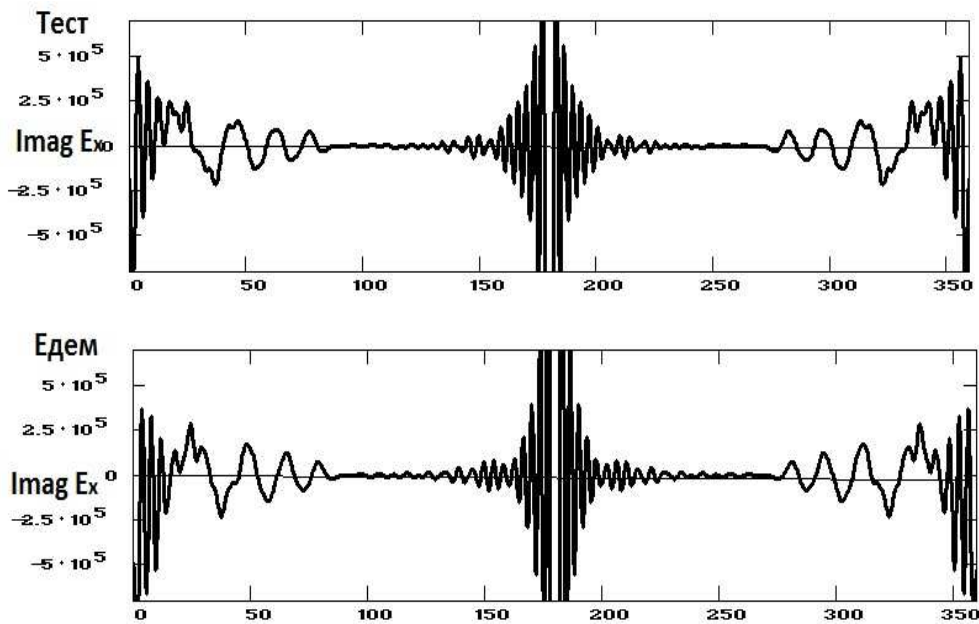


Рис. 7. Графики распределения мнимой компоненты E_x вектора напряжённости электрического поля в дальней зоне, полученные программами «ТЕСТ» и «ЕДЕМ» в случае $ka=50$.

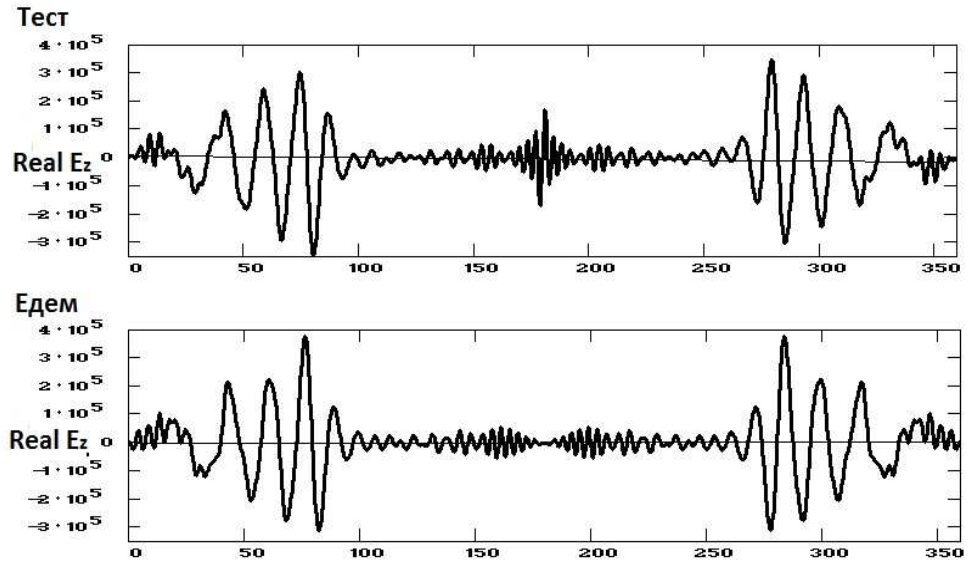


Рис. 8. Графики распределения реальной компоненты E_z вектора напряжённости электрического поля в дальней зоне, полученные программами «ТЕСТ» и «ЕДЕМ» в случае $ka=50$.

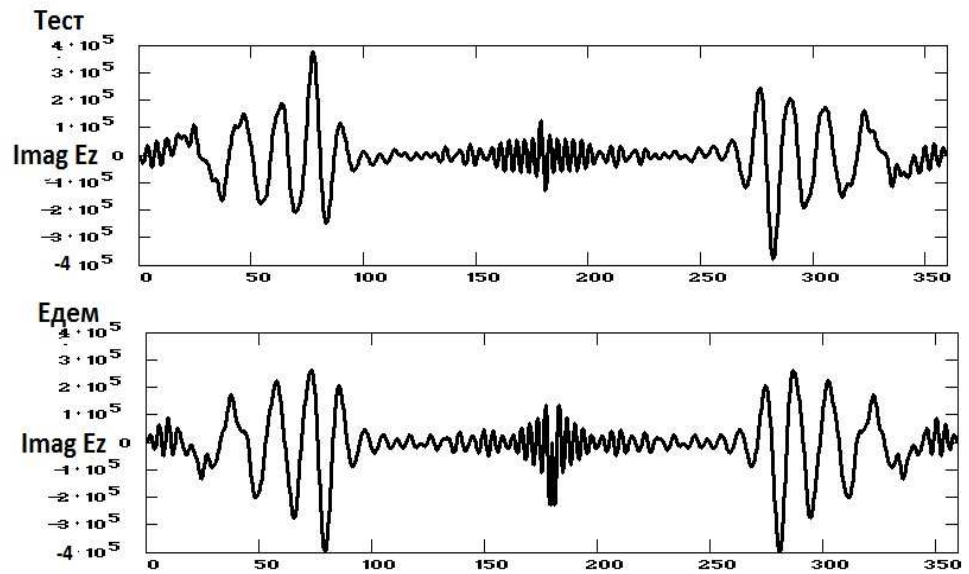


Рис. 9. Графики распределения мнимой компоненты E_z вектора напряжённости электрического поля в дальней зоне, полученные программами «ТЕСТ» и «ЕДЕМ» в случае $ka=50$.

Другой вычислительный эксперимент проводился с тем же отражателем для плоской волны с частотой 0.5 Гц. Характерный параметр (ka) здесь равен 5. На

первой части рис. 10 размещены графики модулей E_x компоненты напряжённости электрического поля полученные программами «ТЕСТ» и «ЕДЕМ». Здесь представлено их распределение на оси OZ в том же интервале координат z $[-0.5, 0.5]$, что и в первом эксперименте. Графики сильно отличаются друг от друга только в окрестности отражателя при $z = -0.25$ м. На остальных участках совпадение не плохое и относительная погрешность не превышает 7%. На другой части рис. 10 показан график отклонения результатов полученных программой «ЕДЕМ» от результатов полученных программой «ТЕСТ»:

$\Delta E_x = \text{Mod}(E_x^E) - \text{Mod}(E_x^T)$. На рис. 11 и 12 изображены аналогичные графики построенные для реальных и мнимых составляющих E_x x -овой компоненты вектора дифракции. Здесь также, лишь в окрестности отражателя графики построенные по результатам вычислений программ «ТЕСТ» и «ЕДЕМ» сильно отличаются. На остальных участках графики совпадают неплохо и относительная погрешность не превышает 7%.

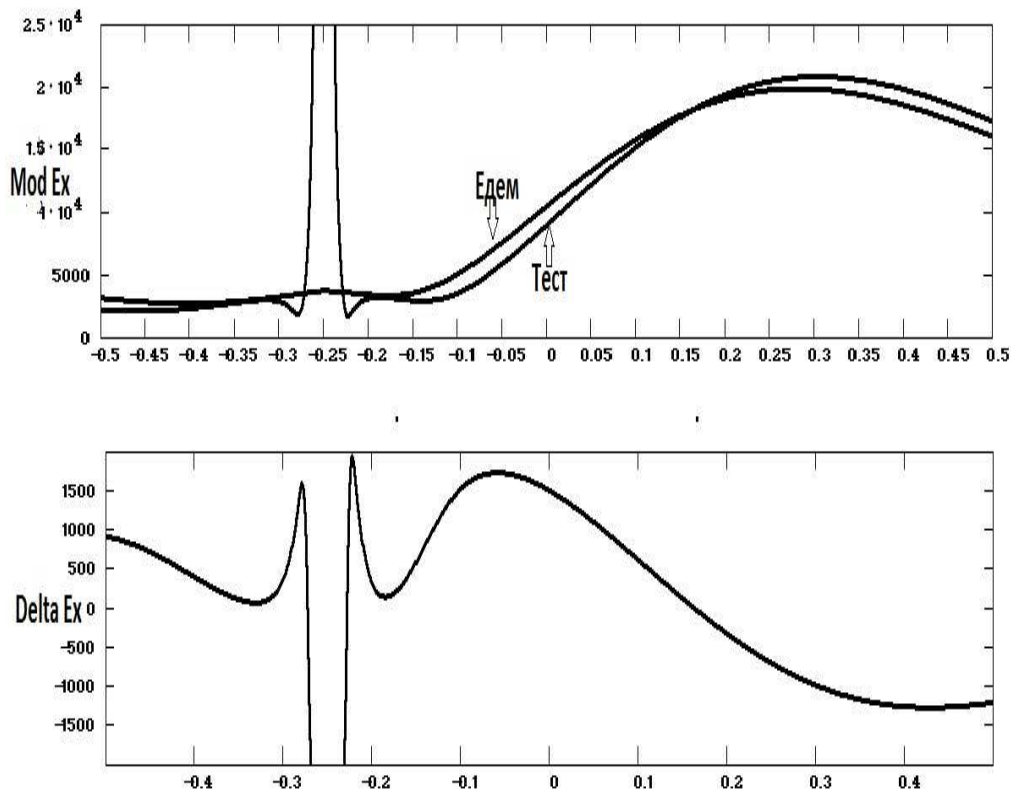


Рис. 10. Графики для модуля E_x x -овой компоненты вектора напряжённости на оси OZ , полученные с помощью программ ЭВМ «ТЕСТ» и «ЕДЕМ» в случае $ka=5$.

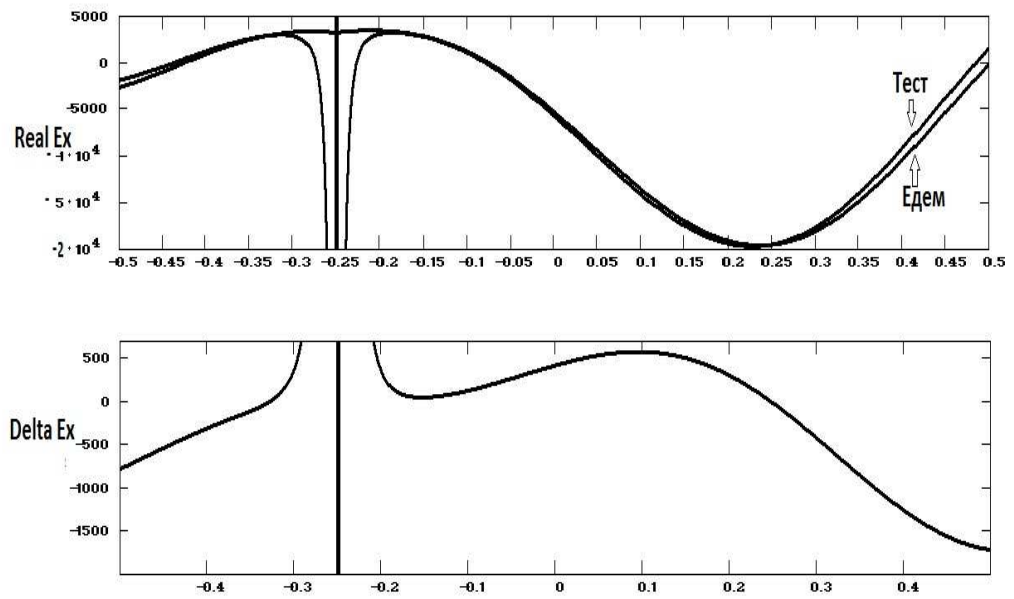


Рис. 11. Графики для реальных составляющих E_x x -овой компоненты вектора напряжённости на оси OZ , полученные с помощью программ ЭВМ «ТЕСТ» и «ЕДЕМ» в случае $ka=5$.

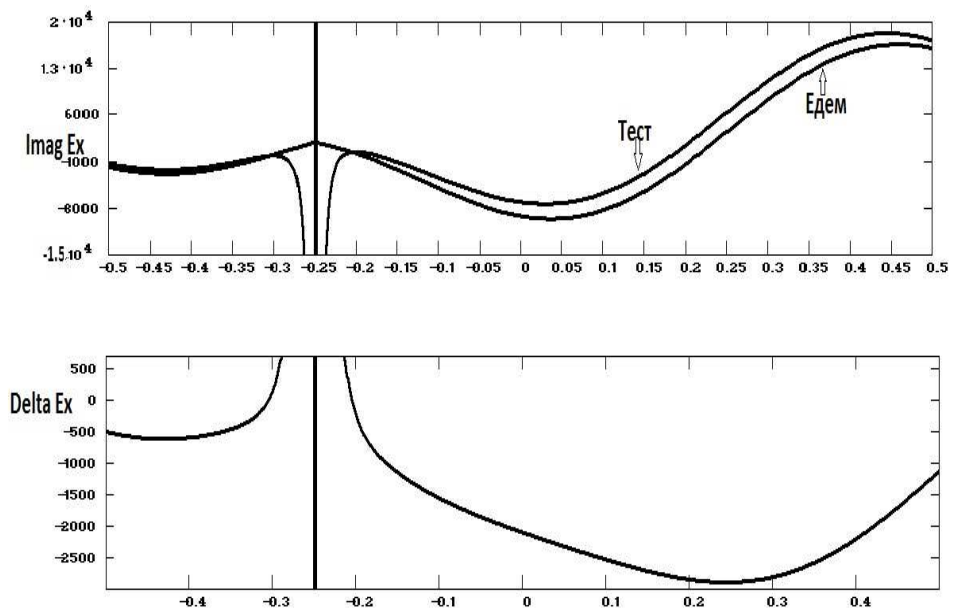


Рис. 12. Графики для мнимых составляющих E_x x -овой компоненты вектора напряжённости на оси OZ , полученные с помощью программ ЭВМ «ТЕСТ» и «ЕДЕМ» в случае $ka=5$.

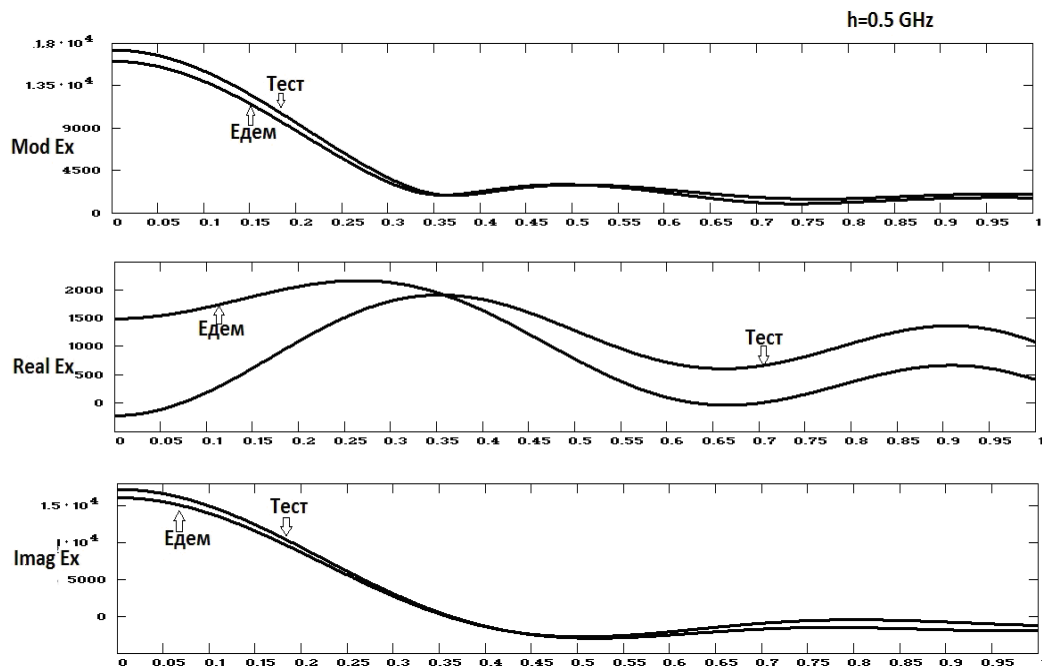


Рис. 13. Графики для модуля, реальной и мнимой E_x -овой компоненты вектора напряжённости на отрезке АВ, полученные с помощью программ ЭВМ «ТЕСТ» и «ЕДЕМ» в случае $ka=5$.

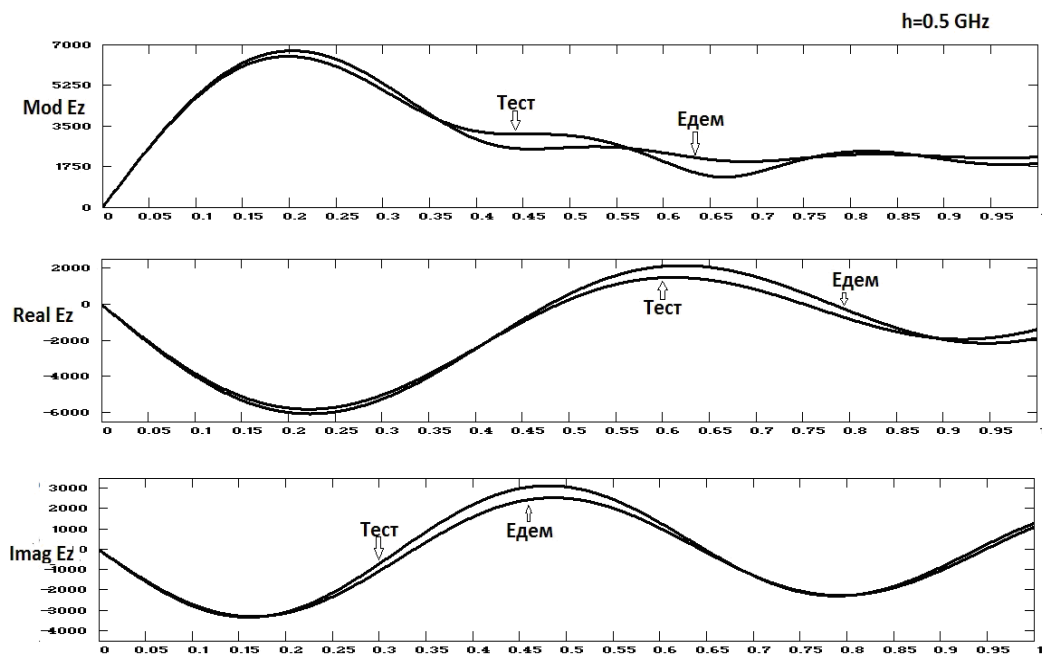


Рис. 14. Графики для модуля, реальной и мнимой E_z -овой компоненты вектора напряжённости на отрезке АВ, полученные с помощью программ ЭВМ «ТЕСТ» и «ЕДЕМ» в случае $ka=5$.

На рис. 13 и 14 приведены графики описывающие значения электрического поля на отрезке АВ (см. рис. 1). Всюду, за исключением графиков для реальной составляющей E_x -овой компоненты вектора напряжённости электрического поля, значения полученные программой «ТЕСТ» отклоняются от соответствующих значений полученных программой «ЕДЕМ» на величины не превышающие 7% точности. По абсолютным величинам значения реальных составляющих E_x -овой компоненты невелики, но сильно отличаются друг от друга

Третий вычислительный эксперимент проводился с тем же отражателем для плоской волны с частотой 0.1 Гц. Характерный параметр (ка) здесь равен 1. На рис. 15 размещены графики модулей, реальных и мнимых составляющих E_x -овых компонент векторов напряжённости электрического поля, полученные по результатам счёта программ «ТЕСТ» и «ЕДЕМ». Здесь показано их распределение на оси OZ в том же интервале координат z $[-0.5, 0.5]$, что и в прежних экспериментах. Эти графики сильно отличаются друг от друга не только в окрестности отражателя, но и на остальных участках этого отрезка. Как видно на рис. 16 и 17 сильно отличаются друг от друга и поля электрических напряжённости определённые с помощью программ «ТЕСТ» и «ЕДЕМ» на отрезке АВ.

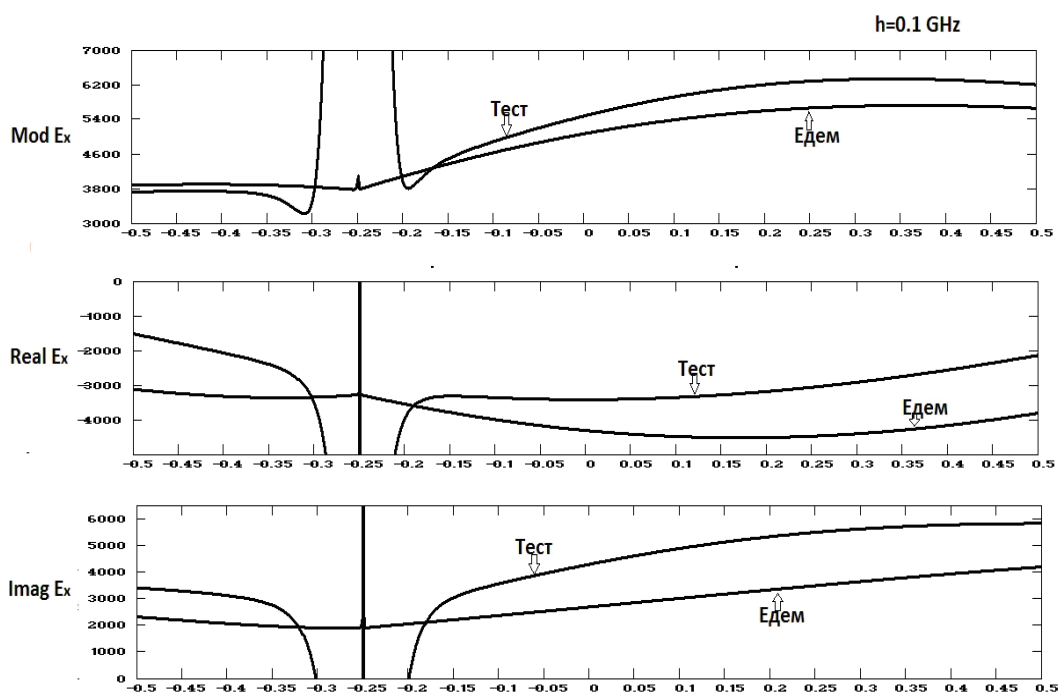


Рис. 15. Графики для модулей, реальных и мнимых составляющих E_x -овых компонент векторов напряжённости на оси OZ , полученные с помощью программ ЭВМ «ТЕСТ» и «ЕДЕМ» в случае $ka=1$.

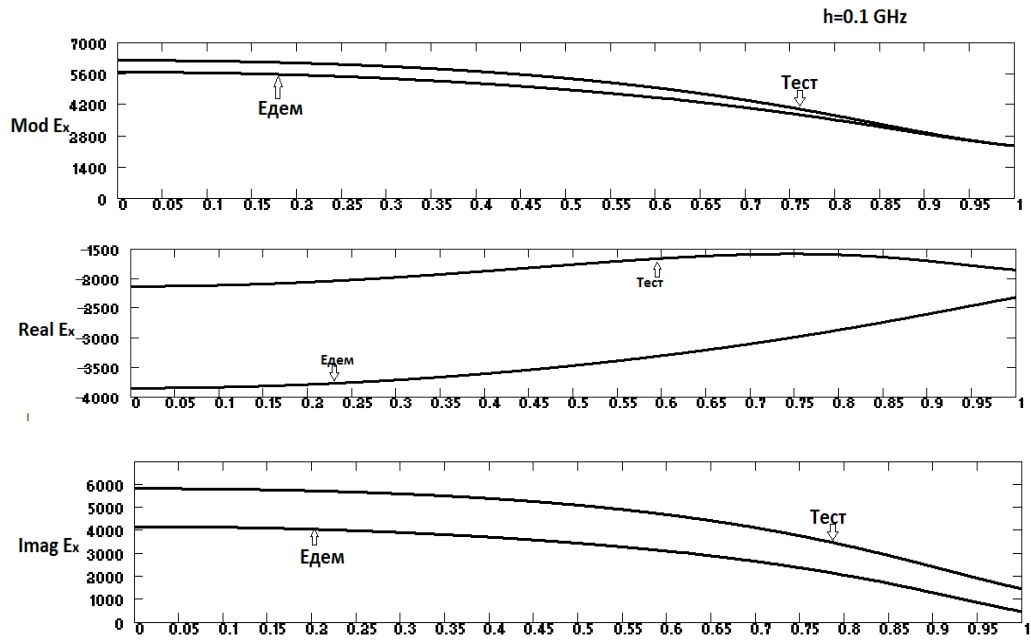


Рис. 16. Графики для модуля, реальной и мнимой E_x -овой компоненты вектора напряжённости на отрезке АВ, полученные с помощью программ ЭВМ «ТЕСТ» и «ЕДЕМ» в случае $ka=1$.

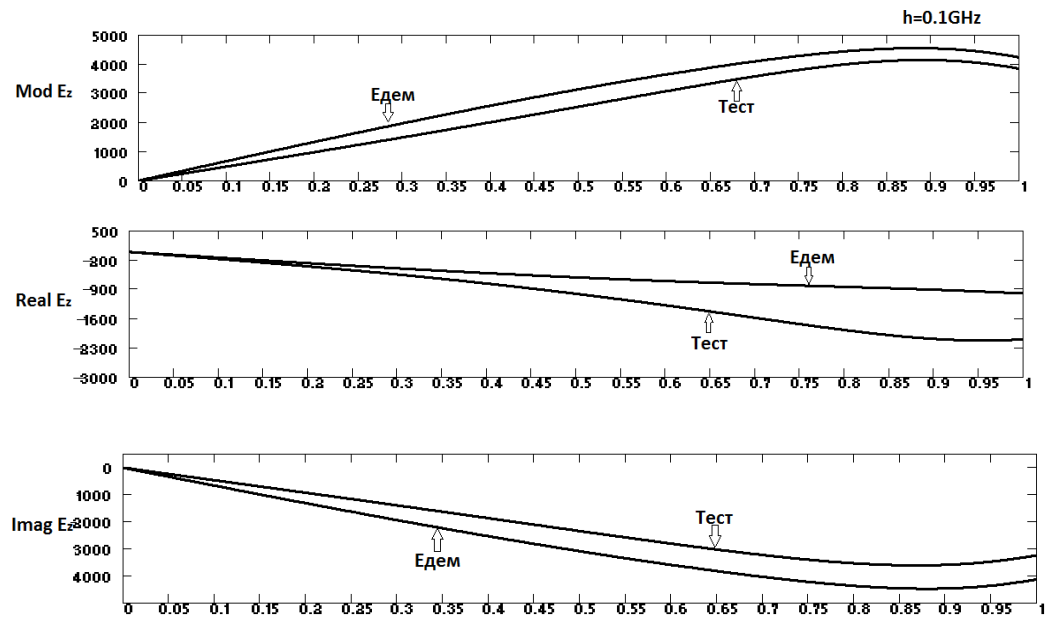


Рис. 17. Графики для модуля, реальной и мнимой E_z -овой компоненты вектора напряжённости на отрезке АВ, полученные с помощью программ ЭВМ «ТЕСТ» и «ЕДЕМ» в случае $ka=1$.

3. Выводы и направление дальнейших исследований.

В статье предлагается метод численного выделения гиперсингулярных и логарифмических особенностей в ядре интегрального уравнения дифракции. Рассматривается модель дифракции произвольной 3-х мерной электромагнитной волны на осесимметричном волноводе с произвольной гладкой незамкнутой образующей. Составленная и отлаженная на базе этой модели программа ЭВМ испытывается на отражателе с параболической образующей, когда в качестве первичного поля используется плоская электромагнитная волна распространяющаяся вдоль оси волновода. Вычислительные эксперименты проводятся для волн в широком диапазоне частот от 0.1 до 5 ГГц. Полученные результаты сравниваются с аналогичными результатами полученными с использованием широко известного универсального программного комплекса ЭВМ "EDEM 3d". Сопоставление этих результатов обнаруживает их хорошее совпадение для волн высокой частоты. С уменьшением частот совпадение результатов ухудшается. Это обстоятельство говорит о том, что хотя бы одна из сравниваемых программ плохо моделирует дифракцию электромагнитных волн на низких частотах.

Впоследствии предполагаем сравнить работу предлагаемой модели с моделями других авторов.

ЛИТЕРАТУРА

1. Щербина В.А. Дифракция электромагнитных волн на разрезе \mathcal{R}^3 // Электромагнитные явления. – 1998. – Т. 1, №4. – С.1 – 4.
2. Жученко С.В., Щербина В.А. Численное моделирование дифракции электромагнитного поля на открытых резонаторах специальной формы // Вестник Харьковского нац. Университета. Серия «Математическое моделирование, информационные технологии автоматизированных систем управления» - №890 выпуск 13, 2010. – С. 82 – 90.
3. Давыдов А.Г., Пименов Ю.В. Программный комплекс EDEM3D для исследования элек-тродинамических характеристик идеально проводящих трехмерных объектов. Электродинамика и техника СВЧ и КВЧ, 1999, т.VII, в.2 (23), с.24-26.
4. Гандель Ю.В. Введение в методы вычисления сингулярных и гиперсингулярных интегралов // Ю.В. Гандель // .–Харьков: ХНУ. 2001. – 92 с.